

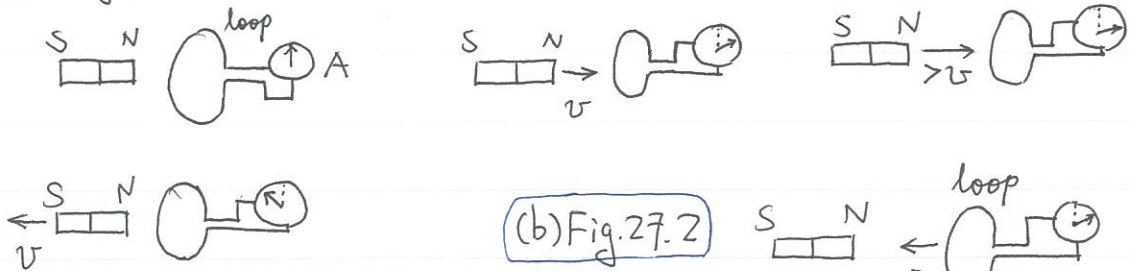
$$\vec{B} \rightarrow \vec{E}$$

(1) Induced currents

— 1831, Faraday and Henry 所發現

實驗上發現: 隨時間變化(時變) \vec{B} 產生感應電流

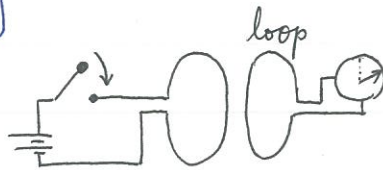
(a) Fig. 27.1



(c) Fig. 27.3



(d) Fig. 27.4



所有的exp特徵: 通過導線迴路(loop or coil)的 \vec{B} 產生時變
 — 電磁感應 (electromagnetic induction), \vec{B} 產生 \vec{E} !

(2) Faraday law

How to 定量描述「通過loop的 \vec{B} 」?

Use \vec{B} lines and loop's area:

$$\Phi_B = \int \vec{B} \cdot d\vec{A} = \text{通過 loop 的磁通量} \quad (\text{Note: 分辨 } \oint \vec{B} \cdot d\vec{A} = 0)$$

where $d\vec{A}$ is the surface element of the area enclosed by loop.



例: 均匀 \vec{B} 通过面积为 A 的 loop, 则

$$\Phi_B = \vec{B} \cdot \int d\vec{A} = \vec{B} \cdot \vec{A} = B \cdot A \cdot \cos\theta$$

where θ 是 \vec{B} 与 loop 法线的夹角. (\vec{A} 的方向?)

Faraday law of induction: $\mathcal{E} = -\frac{d}{dt} \Phi_B$

i.e. induced emf = 通过 loop 的 Φ_B 的变化率.

Think: 电磁感应的实验中並無像電池般的 emf, 但在 loop 中仍產生電流 \rightarrow 此种 induced emf 並非像電池是局部的 emf, 而是分布在 whole loop.

emf \rightarrow current, 表示有 induced \vec{E} 產生.

Then, 在没有 loop 時, 是否仍有 induced \vec{E} 存在空間中?

\Rightarrow Yes! 此为 Faraday law 的廣義描述.

"-" 号的意義 (Lenz law): induced emf 反抗 Φ_B 的變化, 從而決定感應電流或 induced \vec{E} 的方向.

For uniform \vec{B} (may be time-varying)

$$\mathcal{E} = -\frac{d}{dt} \Phi_B = -\frac{d}{dt} (B \cdot A \cdot \cos\theta)$$

$$= -A \cdot \cos\theta \cdot \frac{dB}{dt} \quad (B \text{ case, 如 Fig. 27-1} \sim 27.4)$$

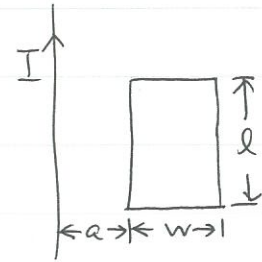
$$\left. \begin{aligned} & -B \cdot \cos\theta \cdot \frac{dA}{dt} \quad (A \text{ case, 如 Example 27.4}) \\ & + B \cdot A \cdot \sin\theta \cdot \frac{d\theta}{dt} \quad (\theta \text{ case, 如 Generator}) \end{aligned} \right\} \text{ motional emf}$$

motional emf: coil or loop 的 A or θ (相對於 \vec{B}) is changing with time \rightarrow conductor 中的 charge carries 在 \vec{B} 中運動!



Example 27.2 (B case)

如右圖，通 I 的長直 wire 旁的長方形 loop，長邊 l 平行於 wire，則通過 loop 的 $|\Phi_B| = ?$

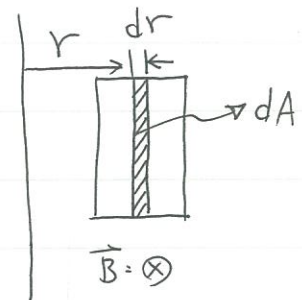


→ 長直 wire 外的 $B = \frac{\mu_0 I}{2\pi r}$ and $\vec{B} \parallel \vec{A}$ or $\vec{B} \parallel -\vec{A}$

∴ 通過 loop 的 B 不是 uniform 的。

將 loop 面積作長邊方向的切割，寬度 = dr ，長度 l ，通過此 $dA = l \cdot dr$

面積的 $B = \frac{\mu_0 I}{2\pi r}$



∴ $|d\Phi_B|$ (通過 dA 的磁通量)

$$= B(r) \cdot dA = \frac{\mu_0 I}{2\pi r} \cdot l \cdot dr$$

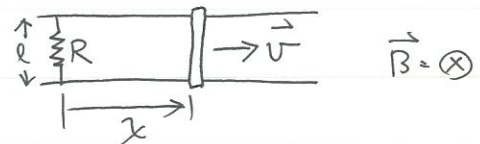
$$\therefore |\Phi_B| = \int |d\Phi_B| = \frac{\mu_0 I l}{2\pi} \int_a^{a+w} \frac{dr}{r} = \frac{\mu_0 I l}{2\pi} \ln\left(\frac{a+w}{a}\right)$$

Example 27.4 (A case)

相距 l 的 2 平行軌道，一端以電阻 R

連接，另一端為可無摩擦滑動的金属 bar，全部置於垂直方向上的均勻 \vec{B} 中。

When bar 以 \vec{v} 向右運動時，電流 = ?



Loop: R + 軌道 + bar 形成 面積 $l \cdot x$ 的 loop.

\vec{B} 與 loop 的 \vec{A} 平行或反平行，∴ $|\Phi_B| = B \cdot A = B \cdot l \cdot x$

When bar 改變位置 → loop 的 area changes

$$\therefore |\mathcal{E}| = \left| -\frac{d\Phi_B}{dt} \right| = B \cdot \left| -\frac{dA}{dt} \right| \text{ (A case)}$$

$$= B \cdot l \cdot \frac{dx}{dt} = B \cdot l \cdot v$$

$$= IR$$

$$\therefore I = Blv/R$$



(3) Induction and induced \vec{E}

o $\mathcal{E} = -\frac{d\Phi_B}{dt}$ 產生的感應電流 I_{ind} 方向為何?

→ from energy 的觀點

在 page 1 中

磁鐵靠近 loop 產生 I_{ind} , loop 有電阻 R

∴ loop 上消耗 energy 的 power 為 $I_{ind}^2 R$.

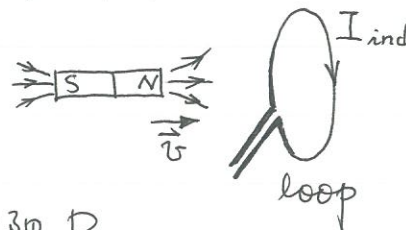
這些 energy 從何而來?

Obviously, 是從磁鐵運動而來。以磁鐵以等速度 v 靠近

→ 推磁鐵前進的外力 \vec{F}_{ext} 在作正功, 且磁鐵受到與 \vec{F}_{ext} 反向、大小相等的力排斥 (∵ 磁鐵以 v 前進, ∴ $\vec{F}_{net} = 0$)

→ 此排斥力顯然是 I_{ind} 產生的 \vec{B}_{ind} (向左) 對磁鐵的斥力

→ 決定了 I_{ind} 的方向.



同理在磁鐵以 v 遠離時, 磁鐵受到 I_{ind} 產生的 \vec{B}_{ind} 的吸力,
→ 外力作正功.

Lenz law : (能量守恆 + 電磁感應)

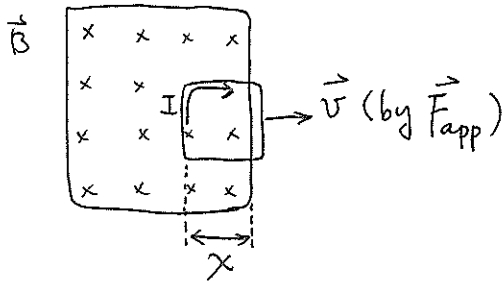
loop 中的 I_{ind} 產生 \vec{B}_{ind} 和外磁場 \vec{B} 的 $\frac{d\Phi_B}{dt}$ 相反。∵
 \vec{B}_{ind} 欲維持通過 loop 的總磁通量 ($\Phi_B + \Phi_{B_{ind}}$) 不變.

o Motional emf (A or B case)

Conductor 在 \vec{B} 中運動 \Rightarrow conductor 內的 charge carriers 在 \vec{B} 中運動, 受磁力 $\vec{F} = q\vec{v} \times \vec{B}$ 的作用形成電流, 亦是感應電流.



(also see Example 27.4 in page 3)



邊長 l , 電阻 R 的正方形 loop, 被外力 \vec{F}_{app} 以 \vec{v} 等速拉離 \vec{B} . (A case)

→ \vec{B} 作用在 loop 內 carriers 形成順時針電流 I (see textbook), 此電流方向與 Lenz law 的感應電流同方向.

$I = ?$, I 流經 loop 消耗的 energy 從何而來?

$$\mathcal{E} = -\frac{d\Phi_B}{dt} = -\frac{d(B \cdot l \cdot x)}{dt} = B \cdot l \cdot \left(-\frac{dx}{dt}\right) = Blv = IR$$

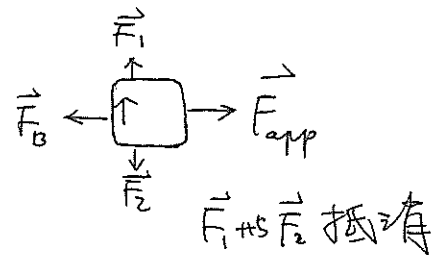
$$\therefore I = \frac{Blv}{R}$$

→ 在 loop 上消耗的 power $P_R = I^2 R = \frac{(Blv)^2}{R}$.

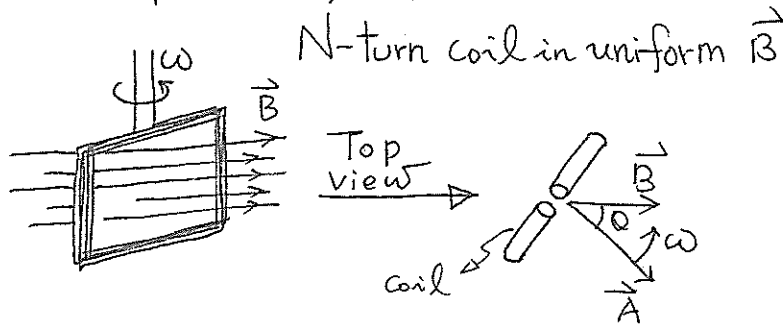
唯一在作功的對象 = 外力 \vec{F}_{app} and $P_{app} = v \cdot F_{app}$

Where $F_{app} = F_B = IlB$

$$\begin{aligned} \rightarrow P_{app} &= v \cdot IlB = \frac{(Blv)^2}{R} \\ &= P_R \end{aligned}$$



Motional emf 的重要應用: Generator (B case)

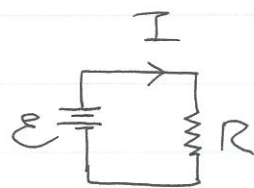


$$\Phi_B = N \vec{B} \cdot \vec{A} = N \cdot B \cdot A \cos\theta = NBA \cos\omega t \quad (\text{coil 以 } \omega \text{ 轉動})$$

$$\text{則 } \mathcal{E} = -\frac{d\Phi_B}{dt} = NBA\omega \sin\omega t = \mathcal{E}_0 \sin\omega t \quad (\text{交流電}) \quad \text{Ⓜ}$$

o Induced \vec{E}

emf:



右圖的 $P = \frac{\Delta W}{\Delta t} = I \mathcal{E} = \frac{\Delta Q}{\Delta t} \cdot \mathcal{E}$

$\therefore \mathcal{E} = \frac{\Delta W}{\Delta Q}$
 = 將單位 charge 繞行 closed loop 一圈 (I 或 I)

所帶作的功 ΔW .

$\therefore \mathcal{E} = \frac{\Delta W}{\Delta Q} = \frac{1}{\Delta Q} \oint \vec{F} \cdot d\vec{r}$ where \vec{F} = 施加在 ΔQ 上的作用力.

When $(\vec{E} + \vec{v} \times \vec{B})$ 時, ΔQ 所受之力 $\vec{F} = \Delta Q (\vec{E} + \vec{v} \times \vec{B})$

where \vec{v} is the velocity of ΔQ

$\therefore \mathcal{E} = \oint (\vec{E} + \vec{v} \times \vec{B}) \cdot d\vec{r} = \oint \vec{E} \cdot d\vec{r} + \oint (\vec{v} \times \vec{B}) \cdot d\vec{r}$

後者 $\oint (\vec{v} \times \vec{B}) \cdot d\vec{r}$ = motional emf, 因 ΔQ 在 \vec{B} 中運動所造成, 即 A or B case.

When $\vec{v} = 0$ 即 conductor 在 \vec{B} 中的 loop A 及 B 不變時,

$\mathcal{E} = \oint \vec{E} \cdot d\vec{r} = -\frac{d}{dt} \Phi_B = -\left(\frac{dB}{dt}\right) \cdot A \cdot \cos \theta$

即 B case, Fig. 27.1 ~ Fig. 27.4 皆屬之.

由此處的 \vec{E} = induced electric field \vec{E}_{ind}

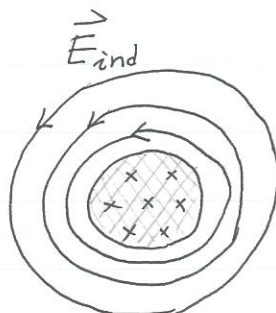
為 a special field: not a 保守場

(cf. 由 charges 所生之 \vec{E} 為 保守場, 特徵: $\oint \vec{E} \cdot d\vec{r} = 0$, 但 $\oint \vec{E}_{ind} \cdot d\vec{r} = -\frac{d}{dt} \Phi_B \neq 0$, $\therefore \vec{E}_{ind}$ 為 非保守場)

\vec{E}_{ind} lines: 封閉的 loops

方向由 Lenz law 決定。

在有 \vec{E}_{ind} 處置入 loop 即產生 induced I, 方向 = \vec{E}_{ind} .



$\vec{B} = \otimes$ and

$\frac{dB}{dt} > 0$

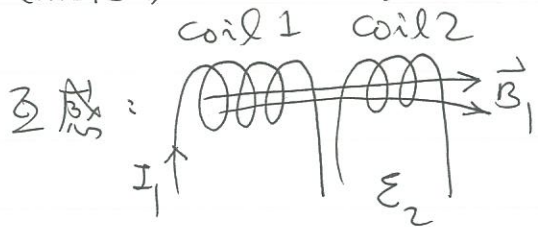


電磁感应有廣泛的應用

- eddy current
- transformer - generator
- diamagnetism (Fig. 27.32)

(4) Inductance and RL Circuits

○ 互感 (mutual inductance) and 自感 (self-inductance)



互感: 由 coil 1 產生的 \vec{B}_1 lines 在 coil 2 形成的 Φ_{B1} , 產生 $\mathcal{E}_2 = -\frac{d}{dt} \Phi_{B1}$

→ Max \mathcal{E}_2 occurs when all \vec{B}_1 lines go through coil 2.

互感是 transformer (ch 28) 的運作原理。

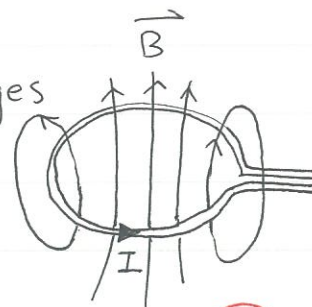
自感: 只要有 closed loop 便能形成 induced 電流。

⇒ 產生 \vec{B} 的 coil 本身就會產生 induced 電流, 此 induced 電流抵抗 \vec{B} 的變化 (completely B case).

如右圖: I 產生 \vec{B} , \vec{B} changes $\leftrightarrow I$ changes

- 產生的 I_{ind} 反抗 I 的 change
- when $B \uparrow \leftrightarrow I \uparrow$, I_{ind} 與 I 反向;
- when $B \downarrow \leftrightarrow I \downarrow$, I_{ind} 與 I 同向。

I_{ind} 與通過 coil or loop 的 Φ_B 有關。



Inductor (電感, 符號 $\text{---}\text{---}\text{---}$, 用 L 表示)

就是 solenoid or N -turn 的 coil.

when 有 I 流通的 solenoid, 通過 1 圈的磁通量 $= B \cdot A = \mu_0 n I \cdot A$

\therefore 穿過長度 l 的 solenoid 的總磁通量 $\Phi_B = (n \cdot l) \cdot (B \cdot A) = \mu_0 n^2 \cdot (A \cdot l) \cdot I$

, where $A =$ solenoid 的 cross section area.

Define $\Phi_B \equiv L \cdot I$

$$\Rightarrow L = \Phi_B / I \text{ (self-inductance)}$$

$$[L] = T \cdot m^2 / A \equiv \text{henry (用 H 表示)}$$

For solenoid, $L = \mu_0 n^2 A \cdot l$ (為螺旋管的幾何參數)

\therefore for an inductor, 其 induced emf

$$\mathcal{E}_L = - \frac{d\Phi_B}{dt} = -L \frac{dI}{dt}$$

$\mathcal{E}_L \neq \frac{dI}{dt}$ 反號, $\therefore \mathcal{E}_L$ is called a back emf, 產生的

$I_{ind} \neq I$ 變化方向相反.

$\rightarrow I_{ind}$ 阻緩 I 的變化



Start or stop current suddenly

$\rightarrow \frac{dI}{dt}$ goes very large and a very large back emf appears.



o RL circuit

跨越L的電位變化: $\xrightarrow{I} \text{-----} \text{-----}$

(i) $\frac{dI}{dt} > 0$, 則 $\xrightarrow{I} \text{-----} \text{-----}$
 $+ \mathcal{E}_L \quad -$

i.e. 沿I方向經過L的電位變化為 $\mathcal{E}_L = -L \frac{dI}{dt}$ ($< 0, \because \frac{dI}{dt} > 0$)

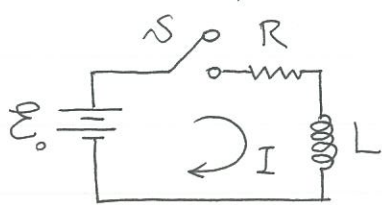
(ii) $\frac{dI}{dt} < 0$, 則 $\xrightarrow{I} \text{-----} \text{-----}$
 $- \mathcal{E}_L \quad +$

沿I方向經過L的電位變化為 $\mathcal{E}_L = -L \frac{dI}{dt}$ ($> 0, \because \frac{dI}{dt} < 0$)

→ Loop rule: 沿I方向經過L的電位變化為 $(-L \frac{dI}{dt})$ 。

跨越C的 voltage 無法瞬間達極值, so does L: 流過L的電流亦因 back emf 而無法瞬間達極值。

(a) 電流上開



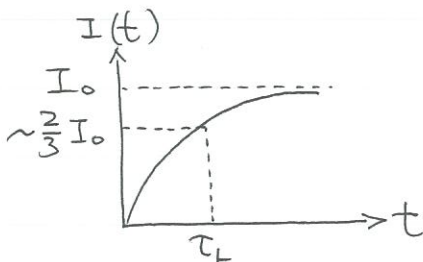
起始條件: $t=0, S$ closes.

loop rule: $\mathcal{E}_0 - IR - L \frac{dI}{dt} = 0, I(t) = ?$

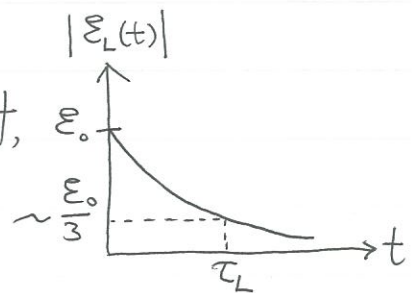
差數分離 + 積分: $\frac{dI}{IR - \mathcal{E}_0} = -\frac{dt}{L}$

$$\therefore I(t) = \frac{\mathcal{E}_0}{R} (1 - e^{-Rt/L}) \equiv I_0 (1 - e^{-Rt/L})$$

$$\text{and } \mathcal{E}_L = -L \frac{dI}{dt} = IR - \mathcal{E}_0 = -\mathcal{E}_0 e^{-Rt/L}$$



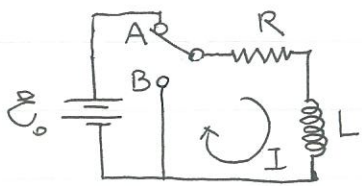
$\tau_L = \frac{L}{R} = \text{inductive time constant,}$



⇒ L 在 $t=0$ 是斷路
 在 $t \rightarrow \infty$ 是通路 (無電阻的 wire)



(b) L 中的電流下降

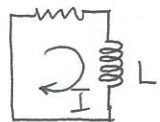


起始條件: $t < 0$, S to A

at $t = 0$, S to B, \therefore L 中的 I,

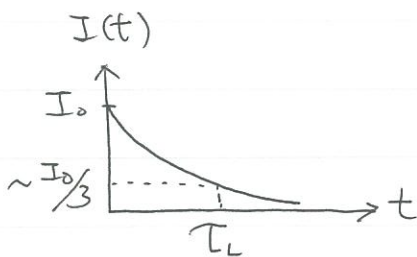
因 R 的消耗 energy 而 decay.

at $t = 0$, $I = I_0 = \text{max.}$



$$\Rightarrow -L \frac{dI}{dt} - IR = 0$$

$$\therefore I(t) = I_0 e^{-Rt/L} = \frac{\epsilon_0}{R} e^{-Rt/L}$$



\therefore at $t = 0$, L 是像 $R = 0$ 的 wire

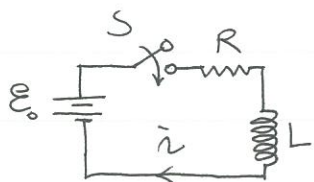
as $t \rightarrow \infty$, L 是斷路.

(5) B 中的 energy

$\sim E$, B 的建立代表 energy 的 storage, 有 B 即有 energy.

RC circuit \sim RL circuit.

check:



在 $t = 0$, S closes, \therefore L 中的電流由

$0 \rightarrow \text{max.}$

When 電路中的電流為 i 時

$$\epsilon_0 = iR + L \frac{di}{dt}, (\times i) \Rightarrow i\epsilon_0 = i^2 R + L i \frac{di}{dt}$$

ϵ_0 所供應的 power

R 所消耗的 power

power stored in L

設 $U_B =$ store 在 L 的 energy, 則

$$\frac{dU_B}{dt} = \text{power stored in L} = L i \frac{di}{dt} \Rightarrow dU_B = L i di$$

\therefore 當 L 的電流: $0 \rightarrow I$ 時, energy stored in L is

$$U_B = \int dU_B = \int_0^I L \cdot i \cdot di + C \quad (C=0, \because i=0, U=0)$$

$$= \frac{1}{2} L I^2 \quad (\text{compared with } U_E = \frac{1}{2C} Q^2)$$



For a solenoid (or inductor) $L = \mu_0 n^2 l A$
 $= \mu_0 n^2 \cdot V$ ($V = \text{solenoid 体積}$) - ①

and L 中的 $B = \mu_0 n I$, $\therefore I = \frac{B}{\mu_0 n}$ - ②

①、② 代入 $U_B = \frac{1}{2} L I^2$

$\Rightarrow U_B = \frac{B^2}{2\mu_0} \cdot V$

Define energy density of B

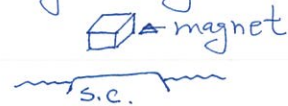
$u_B = \frac{U_B}{V} = \frac{1}{2\mu_0} B^2$ (compared with $u_E = \frac{1}{2} \epsilon_0 E^2$)

只要有 B , 就有 energy, 不局限是 solenoid or inductor.

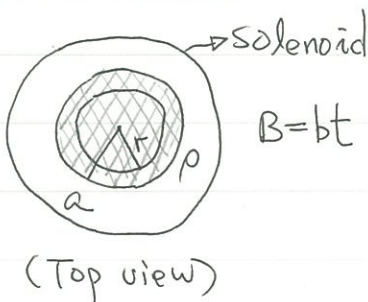
\Rightarrow 反磁性 (diamagnetism)

\rightarrow superconductors are perfectly diamagnetic

\rightarrow Meissner effect



Problem 69



(a) loop of radius r

$|\Phi_B| = \pi r^2 \cdot bt$

$\therefore |\mathcal{E}| = \left| -\frac{d\Phi_B}{dt} \right| = \pi r^2 \cdot b = \oint \vec{E} \cdot d\vec{r} = E(r) \cdot 2\pi r$

$\therefore E(r) = \frac{b}{2} r = \rho \cdot J(r) \Rightarrow J(r) = \frac{b}{2\rho} r$

(b) $dP = J(r) \cdot dA(r) \cdot |\mathcal{E}(r)| = \frac{b}{2\rho} r \cdot h \cdot dr \cdot \pi r^2 b = \frac{\pi b^2 h}{2\rho} r^3 dr$

$\therefore P = \int_0^a dP = \frac{\pi h a^4 b^2}{8\rho} = \frac{a^2 b^2}{8\rho} V$ (dimension is ok)

where V is the volume of disk.

